

نشریه علمی-پژوهشی جغرافیا و برنامه‌ریزی (دانشکده جغرافیا)، سال ۱۷، شماره ۴۲، بهار ۱۳۹۲، صفحات ۱۶۸-۱۴۵

تاریخ دریافت: ۱۳۹۰/۱۰/۲۸

تاریخ پذیرش نهایی: ۱۳۹۱/۰۲/۰۳

## برآورد حداقل بارش محتمل به روش سینوپتیکی در حوضه آبریز رودخانه کرج

افسانه عباسی<sup>۱</sup>

هوشنگ قائمی<sup>۲</sup>

### چکیده

در این پژوهش ۵ ایستگاه سینوپتیک مهرآباد، کرج، قزوین، رامسر و نوشهر در حوضه رودخانه سد کرج انتخاب گردید. پس از تحلیل و پردازش داده‌های سرعت باد، دمای نقطه شنبم و فشار تنظیم رطوبت محاسبه و در نهایت مقادیر حداقل بارش محتمل در تداوم ۲۴ و ۴۸ ساعته برای حوضه مورد مطالعه برآورد شد و مقادیر آن به ترتیب ۵۶/۰۴ و ۵۸/۰۵۴ و ۰۵/۲۵۴ میلی‌متر می‌باشد.

چنانچه با توجه به PMP<sup>۳</sup> بدست آمده در مدت ۲۴ ساعت، مقدار متوسط دبی محاسبه گردد مساوی  $m^3/s$  ۶۸/۳۷۴ است این در صورتی است که کل حجم آب باران ریزش شده به دبی تبدیل گردد، در صورتی که ضریب جریان حوضه ۴۰ درصد در نظر گرفته شود تقریباً  $m^3/s$  ۵۵۰ بطور متوسط بدست می‌آید که با توجه به بیشینه متوسط دبی روزانه مشاهده شده در دوره آماری ۲۰ ساله ( $m^3/s$  ۰۵۴/۱۵۴) قابل قبول است. با توجه به نقشه‌های سینوپتیک سه سامانه باران‌زا موجب بیشینه بارش ۲۴ ساعته به ۴۸ ساعته گردیده است که برای بدست آوردن PMP تحلیل شده است.

**واژگان کلیدی:** حداقل بارش محتمل، حداقل سیل محتمل، سینوپتیک، حوضه آبریز رودخانه کرج.

۱- کارشناس ارشد جغرافیا گرایش اقلیم‌شناسی، دانشگاه آزاد اسلامی واحد علوم و تحقیقات.

Email:abbassi@gmail.com.

۲- استاد پژوهشکده هواشناسی.

3- probable maximum precipitation

## مقدمه

مسئله سیل و زیان‌های حاصل از آن و دست یافتن به راهکارهایی جهت طراحی سدهای بزرگ به منظور مهار کردن سیلابها، ذهن اندیشمندان و متخصصان مربوطه را به خود معطوف ساخته است. روش‌های مختلف آماری و آب شناختی ارائه و بکار گرفته شد که هر کدام مزايا و معایب داشته است (پایمزد، ۱۳۸۱: ۳). اخیراً روش برآورد PMP پیشنهاد گردیده است که به دو روش آماری و سینوپتیک محاسبه می‌گردد. حداقل بارش محتمل یعنی مقدار بارانی که در یک سطح معین با یک دوام مشخص ممکن است اتفاق افتد و در شرایط هواشناختی موجود امکان تجاوز از آن وجود نداشته باشد (خلیلی، ۱۳۸۱: ۳). با استفاده از این روش می‌توان حداقل سیلاب محتمل<sup>۱</sup> را با توجه به ظرفیت سدهای مربوطه پیش‌بینی کرد. روش سینوپتیک نسبت به روش‌های آماری به دلیل مطالعه کلیه عناصر اقلیمی کامل‌تر و دقیق‌تر است که اخیراً مورد استفاده قرار گرفته است می‌توان از نرم‌افزارهای متداول مانند Gis<sup>۲</sup> نقشه‌های سینوپتیک و خطوط هم باران و سایر پارامترهای مورد نیاز در برآورد PMP استفاده کرد.

## پیشینه تحقیق

- مارشال هانسن<sup>۳</sup> در قالب مقاله‌ای مفاهیم جدید و کاربردهای آنها را در به آوردن P.M.P توصیف کرد پیشنهاداتی درباره روش اصلاح شده مورد استفاده در ارزیابی بزرگی PMP ارائه دارد (شیرآوند، ۱۳۸۳: ۲۵).
- راخچا و کلارک<sup>۴</sup> ۱۹۹۹ حداقل بارش محتمل را به روش فیزیکی برای کل هندوستان به مدت (۲۴ ساعته) مطالعه نمود (خلیلی، ۱۳۸۱: ۲۶).
- فردینالد<sup>۱</sup> ۱۹۸۲، به بررسی حداقل در دوره ۱۹۰۱ تا ۱۹۸۰ در یوگسلاوی پرداخته و بر اساس توزیع‌های پیرسون و گامبل مقادیر با دوره برگشت ۲۰۰ سال را ارائه کرده است.

1- probable maximum flood

2- geography information system

3- Marshall, Hansen

4- Rakhchow, Clark



- خلیلی ۱۳۷۰ در طرح آبخیزداری حوضه طالقان برآورد PMP به روش آماری و سینوپتیکی حوضه‌ی طالقان را مورد مطالعه قرار داد (خلیلی، ۱۳۸۱، ۲۵).

- صالحی پاک ۱۳۷۸ در پایان‌نامه خود تحت عنوان برآورد حداکثر بارش محتمل به روش سینوپتیکی در حوضه آبریز سد ماملو از ۱۳ ایستگاه باران شخصی و کلیماتولوژی و ۲ ایستگاه سینوپتیک استفاده نمود وی حداکثر بارش محتمل با تداوم‌های ۲۴، ۲۶ و ۹۶ ساعته را برای حوضه آبریز سد ماملو محاسبه و PMP مربوط به شدیدترین توفان را برای کل حوضه در نظر گرفت (صالحی پاک، ۱۳۷۸، ۱).

- مشایخی در سال ۱۳۸۰ حداکثر بارش محتمل برای منطقه البرز مرکزی را به دو روش آماری و فیزیکی با استفاده از اطلاعات ۱۳۹ ایستگاه هواشناسی بدست آورده است. در این برآورد حداکثر بارش محتمل محاسبه شده به روش فیزیکی با تداوم ۲۴ ساعته برای بیشترین تا کمترین مساحت بین ۱۶۹ تا ۳۸۶ میلی‌متر و حداکثر بارش محتمل محاسبه شده به روش آماری با تداوم ۲۴ ساعته برای بیشترین تا کمترین مساحت بین ۱۱۹ تا ۴۰۶ میلی‌متر در تعییر است (شیراوند، ۱۳۸۱، ۲۷).

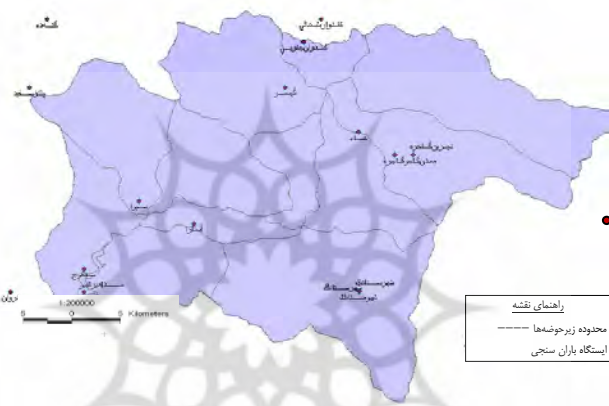
### اهداف تحقیق

هدف از بررسی این پژوهش محاسبه PMP در حوضه آبریز رودخانه سد کرج به روش سینوپتیکی است که می‌تواند سهم به سزاوی در مدیریت منابع آب داشته باشد.

### مواد و روش‌ها

این حوضه در دامنه‌های جنوبی البرز مرکزی بین مختصات جغرافیایی  $51^{\circ}/35^{\circ}$  تا  $51^{\circ}/36^{\circ}$  عرض شمالی واقع شده است. این منطقه از شمال به خط تقسیم آب رودخانه‌های حوضه آبریز دریای مازندران از مغرب به دشت قزوین، از جنوب به ارتفاعات سنگی کم ارتفاع و از مشرق و جنوب شرقی به دشت تهران و رباط کریم محدود می‌گردد. (مهندسین جاماب، ۱۳۶۸، ۲). بیشترین ارتفاع حوضه از سطح دریا به بیش از

۴۰۰۰ متر در شمال آن می‌باشد و کمترین ارتفاع ۱۳۲۰ متر در محدوده پایین سد می‌باشد، ارتفاع متوسط حوضه ۱۶۰۰ متر از سطح دریا است و حدود ۶۱ درصد مساحت آن در ارتفاعی بیش از ۲۵۰۰ متر از سطح دریا قرار دارد. در حالی که مساحت کل حوضه ۸۴۵ کیلومترمربع است (مهندسین مشاور ری آب، ۱۳۷۱: ۴). نقشه (۱) موقعیت حوضه را نشان می‌دهد (مهندسين آبخizerdaran Siz, ۱۳۸۰: ۳).



شکل (۱) موقعیت حوضه و ایستگاه‌های باران سنجی منتخب در داخل و پیرامون

چون این حوضه از دو طرف نواحی جنوبی و شمالی شیب‌های البرز مورد تهاجم سامانه‌های باران‌زا قرار می‌گیرد بنابراین ایستگاه‌های مورد نظر در شمال رامسر، نوشهر، و در جنوب کرج، مهرآباد و قزوین انتخاب شده است. داده‌های تداوم نقطه شبند ۱۲ ساعته و باد در یک دوره‌ی ده روزه از ماه و کل ماه در طول دوره آماری جمع‌آوری شد. با توجه به بررسی‌های دوره آماری در این حوضه و همچنین بیشینه بارش‌های ریزش شده در منطقه سه توفان فرآگیر به شرح ذیل انتخاب گردید.

الف) توفان سیزده و چهارده اردیبهشت ماه ۱۳۶۵ با تداوم ۴۸ ساعته

ب) توفان دوازده اسفندماه ۱۳۷۲ با تداوم ۲۴ ساعته

ج) توفان ده اردیبهشت ماه ۱۳۷۳ با تداوم ۴۸ ساعته



جدول (۱) داده‌های بارندگی سه توفان انتخابی را نشان می‌دهد.

جدول (۱) آمار بارندگی صربوط به توفان‌های منتخب

| ایستگاه  | تاریخ | ۶۵/۲/۱۳ | ۶۵/۲/۱۴ | ۷۲/۱۱/۱۲ | ۷۳/۲/۱۰ |
|----------|-------|---------|---------|----------|---------|
|          |       | ۸۶/۵/۲  | ۸۶/۵/۳  | ۹۴/۱/۳۱  | ۹۴/۴/۳۰ |
| آسرا     |       | ۳۸      | ۷۰      | ۴۲       | ۴۶      |
| کاجره    |       | ۴۷      | ۴۸      | –        | –       |
| فشم      |       | ۳۸      | ۵۲      | ۵۳       | ۴۸/۵    |
| نساء     |       | ۳۵/۵    | ۵۲/۵    | ۵۲       | ۴۳      |
| گنه ۵    |       | –       | ۴۶/۵    | ۳۸       | ۴۳      |
| مورود    |       | ۲۰/۵    | ۳۳      | ۵۰       | ۵۶/۵    |
| شهرستانک |       | ۱۷      | –       | ۳۳       | ۴۴/۵    |
| امیرکبیر |       | ۳۱      | ۳۴/۴    | ۵۰       | ۴۰      |
| سیرا     |       | ۱۵/۵    | ۱۸      | ۶۳       | ۵۱      |
| ولیان    |       | ۹       | ۲۷      | ۳۲       | ۲۰      |
| دواون    |       | ۳۸      | ۴۰      | ۲۴       | ۴۶      |
| آهار     |       | ۳۸      | ۷۰      | ۴۲       | ۴۶      |
| بیلقان   |       | ۵       | ۱۵      | ۲۴/۵     | ۲۳      |

مأخذ: تحقیقات منابع آب

به منظور مطالعه و بررسی بالاترین دبی حداکثر لحظه‌ای و متوسط دبی حداکثر روزانه، ایستگاه‌های هیدرومتری درون حوضه شناسایی شدند و تاریخ رخداد بیشینه دبی لحظه‌ای و متوسط روزانه با توجه به جدول (۲) استخراج گردید.

جدول (۲) آمار ایستگاه هیدرومتری سیرا (ورودی سد)

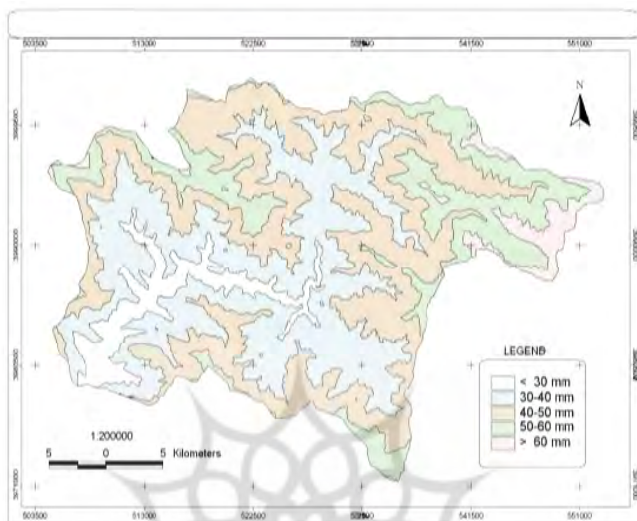
| سال   | حداکثر دبی روزانه | حداکثر دبی لحظه‌ای | تاریخ          |
|-------|-------------------|--------------------|----------------|
| ۶۱-۶۲ | ۴۱/۲۰             | –                  | اردیبهشت ۱۹    |
| ۶۲-۶۳ | ۴۹/۶۲             | –                  | اردیبهشت ۴۵/۴۰ |
| ۶۳-۶۴ | ۵۰/۷۰             | ۶۰                 | اردیبهشت ۴/۴   |
| ۶۴-۶۵ | ۸۷/۱۶             | ۱۰۷/۲              | اردیبهشت ۱۴/۱۳ |
| ۶۵-۶۶ | ۱۵۴/۵۴            | ۲۳۲                | فروردین ۳۰ /   |

|       |       |        |                    |
|-------|-------|--------|--------------------|
| ۶۶/۶۷ | ۶۷/۶۸ | ۶۷     | اردیبهشت / ۱۳      |
| ۶۷/۶۸ | ۴۵/۲۹ | ۷۱     | اردیبهشت / ۱۷ و ۱۸ |
| ۶۸/۶۹ | ۳۹/۹۵ | ۴۹/۹   | اردیبهشت / ۱۰      |
| ۶۹/۷۰ | ۴۸/۷۸ | ۷۵/۶   | فروردین / ۱۵       |
| ۷۰/۷۱ | ۸۷/۹۵ | ۱۰۹/۷  | اردیبهشت / ۲۳      |
| ۷۱/۷۲ | ۴۳/۶۷ | ۴۸/۶   | اردیبهشت / ۳۰      |
| ۷۲-۷۳ | ۸۴/۱۰ | ۱۴۱    | اردیبهشت / ۱۰      |
| ۷۳-۷۴ | ۶۵/۵۵ | ۱۳۶    | اردیبهشت / ۱۷      |
| ۷۴-۷۵ | ۶۱/۹۶ | ۷۰     | اردیبهشت / ۶       |
| ۷۵-۷۶ | ۳۰/۶۲ | ۳۳/۶   | اردیبهشت / ۷       |
| ۷۶-۷۷ | ۵۰/۳۷ | ۶۵/۵   | فروردین / ۱۰       |
| ۷۷-۷۸ | ۲۰/۸۶ | ۲۲/۲۰۰ | اردیبهشت / ۲۰      |
| ۷۸/۷۹ | ۶۳/۴۹ | ۷۰     | فروردین / ۵        |
| ۷۹-۸۰ | ۱۲/۲۳ | ۱۹/۱۷  | اردیبهشت / ۱۴ و ۱۵ |
| ۸۰-۸۱ | ۱۳/۷۸ | ۱۳     |                    |

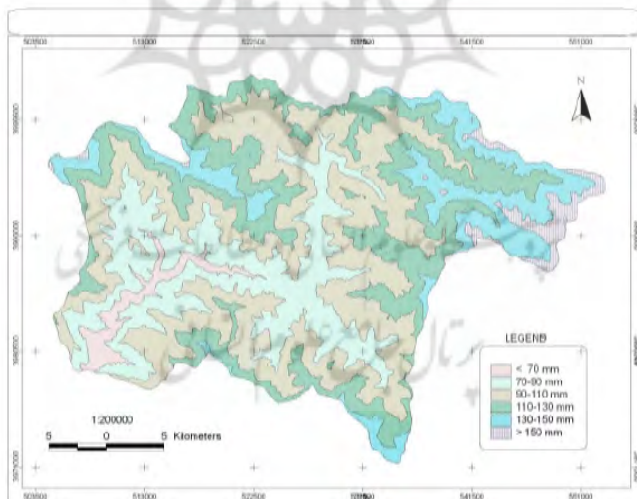
## مأخذ: تحقیقات منابع آب

موقعیت ایستگاه‌ها در داخل و پیرامون حوضه شناسایی شد. برای رسم خطوط هم باران، از روی معادله گرادیان بارندگی، برای هر مقدار مشخص بارندگی، ارتفاع مربوطه محاسبه شد. سپس با استفاده از نرم‌افزار «Arc GIS» منحنی‌های هم باران رسم گردید. بدليل کوهستانی بودن حوضه مورد مطالعه، خطوط هم باران از خطوط تراز تعیت کرده است.

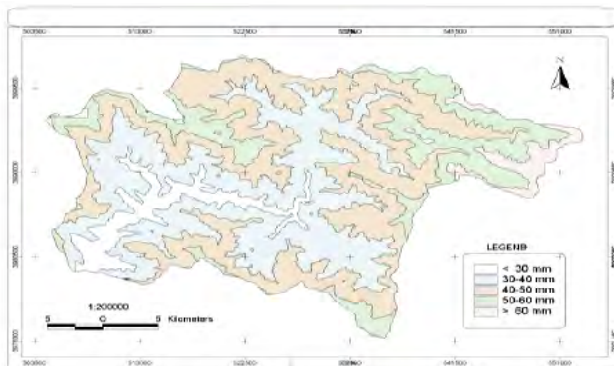
شایان گفتن است قبل از رسم خطوط هم باران همبستگی بین بارش و ارتفاع در سه توفان مورد نظر معنی‌دار بود بدین ترتیب مساحت بین خطوط هم باران محاسبه و بر اساس آن حجم آب باریده شده در هر یک از سطوح برآورد گردید. دیده می‌شود که در این حوضه، ارتفاع بر روی بارش تأثیرگذار است و از آن تعیت می‌کند. نقشه‌های (۲ تا ۵) و جدول‌های (۳ تا ۶) توزیع بارش را در تاریخ‌های رخداد توفان‌ها نشان می‌دهد.



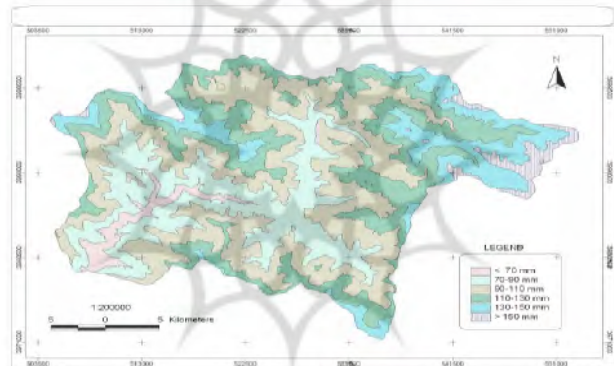
شکل (۲) نقشه همباران طوفان ۲۴ ساعته حوضه آبریز رودخانه کرج در تاریخ ۱۳۶۵/۲/۱۳



شکل (۳) نقشه همباران ۴۸ ساعته حوضه آبریز رودخانه کرج در تاریخ ۱۳۶۵/۲/۱۳ و ۱۴



شکل (۴) نقشه همبیران طوفان ۲۴ ساعته حوضه آبریز رودخانه کرج در تاریخ ۱۳۷۲/۱۱/۱۲



شکل (۵) نقشه همبیران ۲۴ ساعته حوضه آبریز رودخانه در تاریخ ۱۳۷۳/۰۲/۰۱

جدول (۳) محاسبه ارتفاع، مساحت و حجم بارش در نقشه همبیران ۱۳۷۳/۰۲/۰۵ در حوزه آبریز رودخانه کرج

| ۱  | ۲   | ۳                                 | ۴=۲×۳             | ۵                        | ۶                                    | ۷=۶÷۵                                      |
|--|---|-----------------------------------|-------------------|--------------------------|--------------------------------------|--|
| میزان بارندگی بین<br>دومنخی همبیران<br>m.m | میانگین باران<br>بین دو خط<br>همبیران m.m | سطح بین<br>دوخط همبیران<br>$Km^2$ | حجم بارش<br>$M^3$ | مساحت<br>تجمعی<br>$Km^2$ | حجم تجمعی<br>بارش به<br>هزار مترمکعب | میزان متوسط<br>بارندگی در سطح<br>تجمعی m.m |
| < ۶۰                                       | ۶۵  | ۳۰/۹۳                             | ۲۰۱۰/۴۵           | ۳۰/۹۳                    | ۲۰۱۰/۴۵                              | ۶۵   |
| ۵۰-۶۰                                      | ۵۵  | ۱۴۴/۳۶                            | ۷۹۳۹/۸            | ۱۷۵/۲۹                   | ۹۹۵۰/۲۵                              | ۵۶/۷۶                                      |
| ۴۰-۵۰                                      | ۴۵  | ۳۱۹/۶۶                            | ۱۴۳۸۵/۱۵          | ۴۹۴/۹۵                   | ۲۲۳۳۵/۴                              | ۴۹/۱۶                                      |
| ۳۰-۴۰                                      | ۳۵  | ۲۹۵/۶۰                            | ۱۰۱۶۹/۹۵          | ۷۸۵/۵۵                   | ۳۴۵۰.۵/۳۵                            | ۴۳/۹۲                                      |
| < ۳۰                                       | ۲۵  | ۹۵/۴۵                             | ۱۴۸۵/۵            | ۸۴۵                      | ۳۵۹۹۰/۸۵                             | ۴۲/۵۹                                      |



جدول (۴) محاسبه ارتفاع، مساحت و حجم بارش در نقشه همباران ۱۳ و ۱۴/۲/۶۵ در حوضه آبریز رودخانه کرج

| ۱   | ۲  | ۳                                     | ۴=۲×۳                | ۵                        | ۶                                    | ۷=۶÷۵   |
|---|--|---------------------------------------|----------------------|--------------------------|--------------------------------------|---|
| میزان بارندگی<br>بین دو منحنی<br>همباران<br>m.m | میانگین باران<br>بین دو خط<br>همباران<br>m.m | سطح بین<br>دو خط<br>همباران<br>$Km^2$ | حجم<br>بارش<br>$M^3$ | مساحت<br>تجمعی<br>$Km^2$ | حجم تجمعی<br>بارش به<br>هزار مترمکعب | میزان متوسط<br>بارندگی در سطح<br>تجمعی<br>m.m |
| 〉 ۱۵۰   | ۱۶۰  | ۲۳/۲۵                                 | ۲۵/۳۷                | ۲۳/۲۵                    | ۳۷۲۰                                 | ۱۶۰   |
| ۱۳۰-۱۵۰   | ۱۴۰  | ۱۰۳/۳۰                                | ۱۴۴۶۲                | ۱۲۶/۵۵                   | ۱۸۱۸۲                                | ۱۴۳/۶   |
| ۱۱۰-۱۳۰   | ۱۲۰  | ۲۱۰/۹                                 | ۲۵۳۰.۸               | ۳۳۷/۴۵                   | ۴۳۴۹۰                                | ۱۲۸/۸۷  |
| ۹۰-۱۱۰  | ۱۰۰  | ۳۰۷/۰۸                                | ۳۰۷۰.۸               | ۶۴۴/۵۳                   | ۷۴۱۹۸                                | ۱۱۵/۱   |
| ۷۰-۹۰   | ۸۰   | ۱۷۵/۸۵                                | ۱۴۰۶۸                | ۸۲۰/۳۸                   | ۸۸۲۶۶                                | ۱۰۷/۵۹  |
| 〈 ۷۰  | ۶۰   | ۲۴/۶۲                                 | ۱۴۷۷/۲               | ۸۴۵                      | ۸۹۷۴۳/۲                              | ۱۰۶/۲۱  |

جدول شماره (۵) محاسبه ارتفاع، مساحت و حجم بارش و نقشه همباران ۱۱/۱۲/۷۲/۷۳ حوضه آبریز رودخانه کرج

| ۱   | ۲  | ۳                                     | ۴=۲×۳             | ۵                        | ۶                                    | ۷=۶÷۵   |
|---|--|---------------------------------------|-------------------|--------------------------|--------------------------------------|---|
| میزان بارندگی<br>بین دو منحنی<br>همباران<br>m.m | میانگین باران<br>بین دو خط<br>همباران<br>m.m | سطح بین<br>دو خط<br>همباران<br>$Km^2$ | حجم بارش<br>$M^3$ | مساحت<br>تجمعی<br>$Km^2$ | حجم تجمعی<br>بارش به<br>هزار مترمکعب | میزان متوسط<br>بارندگی در سطح<br>تجمعی<br>m.m |
| 〉 ۶۵  | ۶۷/۵   | ۷/۴                                   | ۴۹۸/۸۲            | ۷/۴                      | ۴۹۸/۸۲                               | ۶۷/۵  |
| ۶۰-۶۵   | ۶۲/۵   | ۹۱/۹۱                                 | ۵۷۴۴/۳۷           | ۹۹/۳۱                    | ۶۲۴۳/۱۹                              | ۶۲/۸۷   |
| ۵۵-۶۰   | ۵۷/۵   | ۲۲۴/۸۱                                | ۱۲۹۲۶/۵۷          | ۳۲۴/۱۲                   | ۱۹۱۶۹/۷۶                             | ۵۹/۱۴   |
| ۵۰-۵۵   | ۵۲/۵   | ۳۴۶/۰۸                                | ۱۸۱۶۹/۲           | ۶۷۰/۲                    | ۳۷۳۳۸/۹۶                             | ۵۵/۷۱   |
| ۴۵-۵۰   | ۴۷/۵   | ۱۶۷/۴۵                                | ۷۹۵۲/۹۲           | ۸۳۷/۶۵                   | ۴۵۲۹۱/۸۸                             | ۵۴/۰۷   |
| 〈 ۴۵  | ۴۲/۵   | ۷/۳۵                                  | ۳۱۱/۱             | ۸۴۵                      | ۴۵۶۰۲/۹۸                             | ۵۴  |

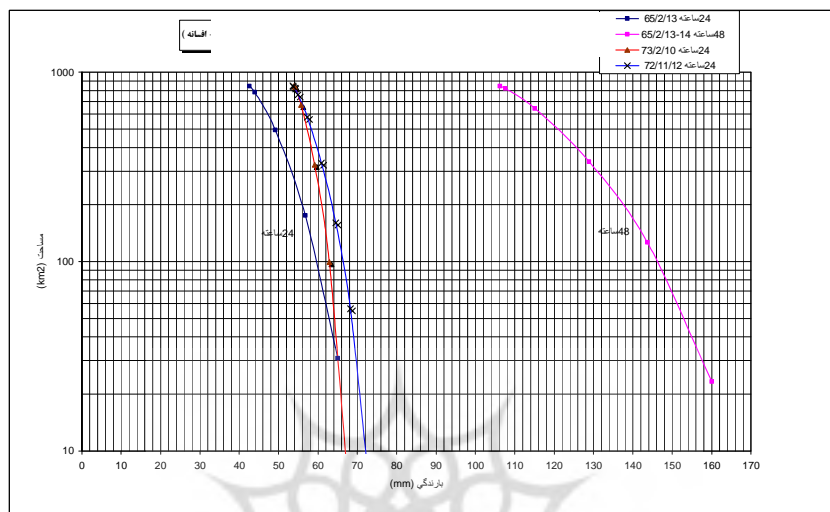
جدول شماره (۶) محاسبه ارتفاع، مساحت و حجم بارش در نقشه همباران ۷۳/۲/۱۰ حوضه آبریز رودخانه کرج

| ۱                                    | ۲   | ۳                                     | ۴=۲×۳                | ۵                        | ۶   | ۷=۶÷۵   |
|--------------------------------------|---|---------------------------------------|----------------------|--------------------------|---|---|
| میزان بارندگی<br>بین دو منحنی<br>m.m | میانگین<br>باران بین<br>دو خط<br>همباران<br>m.m | سطح بین<br>دو خط<br>همباران<br>$Km^2$ | حجم<br>بارش<br>$M^3$ | مساحت<br>تجمعی<br>$Km^2$ | حجم<br>تجمعی<br>بارش به<br>هزار متر<br>مکعب | میزان متوسط<br>بارندگی در<br>سطح تجمعی<br>m.m |
| 〈 ۷۰                                 | ۷۲/۵  | ۸/۳۰                                  | ۶۰۱/۰۲۵              | ۸/۳۰                     | ۶۰۱/۰۲۵                                     | ۷۲/۵  |
| ۶۵-۷۰                                | ۶۷/۵  | ۴۸/۰۳                                 | ۳۲۴۲/۰۲۵             | ۵۶/۳۳                    | ۳۸۴۳/۰۵                                     | ۶۸/۲  |
| ۶۰-۶۵                                | ۶۲/۵  | ۱۰۳/۶۴                                | ۶۴۷۷/۵               | ۱۵۹/۹۷                   | ۱۰۳۲۰/۵۵                                    | ۶۴/۵  |
| ۵۵-۶۰                                | ۵۷/۵  | ۱۷۰/۸۱                                | ۹۸۲۱/۵۷              | ۳۳۰/۷۸                   | ۲۰۱۴۲/۱۲                                    | ۶۰/۸۹   |
| ۵۰-۵۵                                | ۵۲/۵  | ۲۴۸/۰۸                                | ۱۳۰۲۴/۲              | ۵۷۸/۸۶                   | ۳۳۱۶۶/۳۲                                    | ۵۷/۲۹   |
| ۴۵-۵۰                                | ۴۷/۵  | ۱۸۱/۱۲                                | ۸۶۰۳/۲               | ۷۵۹/۹۸                   | ۴۱۷۶۹/۵۲                                    | ۵۴/۹۶   |
| ۴۰-۴۵                                | ۴۲/۵  | ۷۸/۱۷                                 | ۳۳۲۲/۲۲              | ۸۳۸/۱۵                   | ۴۵۰۹۱/۷۴                                    | ۵۳/۷۹   |
| 〈 ۴۰                                 | ۳۷/۵  | ۶/۸۵                                  | ۲۵۵/۷۵               | ۸۴۵                      | ۴۵۳۴۷/۴۹                                    | ۵۳/۶۶   |

### D.A.D منحنی‌های

منحنی‌های D.A.D بر اساس جدول‌های ارتفاع - مساحت به کمک نرم‌افزار excel رسم گردید (WMO,NO,237). منحنی (۱) نشانگر عمق، مساحت و مدت توفان‌ها در حوضه مورد مطالعه می‌باشد.

منحنی (۱) نشانگر عمق، مساحت و مدت طوفان‌ها در حوضه مورد مطالعه می‌باشد.



منحنی (۱) برای طوفان‌های منتخب با تداوم ۲۴ و ۴۸ ساعته حوضه رودخانه سد کرج

### یافته‌ها

در تحلیل نقشه‌های سینوپتیکی لازم دیده شد نقشه‌ها را از ۴۸ ساعت قبل از شروع تا پایان توفان‌ها تهیه و مطالعه نمود بنابراین نقشه سطح زمین و تراز ۸۵۰ هتکوپاسکال در زمان‌های مورد نظر انتخاب گردید (سازمان هواشناسی، ۱۹۹۴-۱۹۸۶، نقشه‌های سینوپتیک). در توفان ۱۳ و ۱۴/۲/۱۳۶۵ مشاهده شد سامانه باران‌زا، سامانه سودانی است که به سوی نواحی نیمه غربی ارتفاعات البرز انتقال یافته و تحت شرایط خاص سینوپتیکی حالت ترمودینامیکی پیدا کرده و موجب ریزش بارندگی شدید گردیده است (لشکری، ۱۳۸۲؛ ۱). (نقشه ۶).



شکل (۶) توفان ۱۴ و ۱۳ ۱۳۶۵/۳/۱۳ سطح زمین



شکل (۷) توفان ۱۳۷۲/۱۱/۱۲ سطح زمین



شکل (۸) توفان ۱۳۷۲/۱۱/۱۲ سطح ۱۰۰ هکتوپاسکال



شکل (۹) توفان ۱۳۷۳/۲/۱۰ سطح زمین



شکل (۱۰) توفان ۱۳۷۳/۲/۱۰ سطح ۸۵۰ هکتوپاسکال

در توفان ۱۳۷۳/۲/۱۰ ملاحظه شد شرایط سینوپتیکی تراز ۸۵۰ هکتوپاسکال با شرایط سینوپتیکی سطح زمین کاملاً هماهنگ است. این سامانه مدیترانه‌ای است و شمال غرب ایران را تحت تأثیر قرار داده و موجب ریزش بارندگی شدید گردیده است نقشه (۸ و ۷).

در توفان ۱۳۷۳/۲/۱۰ ملاحظه شد پرفشار سرد حاکم در نواحی شمال غرب روسیه و شمال و شرق اروپا موجب ریزش هوای سرد و مرطوب از روی دریای خزر بر روی شبیه‌های شمالی البرز و ارتفاعات مرکزی گردیده است از طرفی وجود پرفشار بر روی شمال عربستان سبب می‌شود هوای گرم و مرطوب غرب آقیانوس هند در جریانات برگشتی به سوی شمال ایران ریزش پیدا کند، نقشه (۱۰ و ۱۱).

جهت محاسبه آب قابل بارش بهترین راه بدست آوردن گرمترین اشباع بی درو است. شایان ذکر است که نقطه شبتم ثابت نیست و در هنگام ریزش بارش‌ها تعییر می‌کند از این رو بیشینه تداوم ۱۲ ساعته نقطه شبتم برای دوره‌های ۱۰ روزه اول، دوم و سوم از هر ماه در طول دوره آماری برای ایستگاه‌های مهرآباد (۱۹۵۱-۲۰۰۴)، قزوین (۱۹۵۹-۲۰۰۴)، کرج (۱۹۸۵-۲۰۰۴)، رامسر (۱۹۵۵-۲۰۰۴) و نوشهر (۱۹۷۷-۲۰۰۰) استخراج گردید.

چون دوره آماری ایستگاه‌ها یکسان نبود با استفاده از مدل آماری توزیع نرمال، داده‌ها

برازش داده شد و بیشینه دمای نقطه شبنم و سرعت باد با تداوم ۱۲ ساعته برای دوره‌های پرگشتی ۵۰ و ۸۰ سال برآورد گردید. پس از بیشینه نمودن دمای نقطه شبنم با استفاده از نمودار SKEW/T/P نسبت اختلاط در سطح تلاقی دمای نقطه شبنم و فشار توفان بدست آمده و به سطح ۱۰۰۰ میلی‌بار تبدیل شد، این عملیات برای تمامی توفان‌ها با دوره‌های پرگشت ۵۰ و ۸۰ سال انجام شد نتایج در جدول‌های ۹ تا ۷ آمده است.

رابطه (۱)  $MP = \text{ضریب رطوبت}$

$$MP = \frac{\text{نسبت اختلاط دوره بازگشت معین در تراز } 1000 \text{ میلی بار}}{\text{نسبت اختلاط توفان در تراز } 1000 \text{ میلی بار}}$$

جدول (۷) بیشینه نمودن دمای نقطه شیبم و نسبت اختلاط در سطح ۱۰۰۰ هکتو باسکال توفان  
 ۱۳۶۵/۲/۱۳

جدول (۱) پیشینه نمودن دمای نقطه شیبم و نسبت اختلاط در سطح ۱۰۰۰ هکتو پاسکال توفان ۷۲/۱۱/۱۲

| ضریب رطوبت  |        | نسبت اختلاط |        | تبديل تداوم نقطه شنبتم ۱۲ ساعته ۸۰ ساله به ۱۰۰ هکتوپاسکال |        | تبديل تداوم ۱۲ ساعته نقطه شنبتم با دوره برگشت ۸۰ سال |        | تبديل نقطه شنبتم ۱۲ ساعته ۰۵ ساله به سطح ۱۰۰ هکتوپاسکال |        | تبديل تداوم ۱۲ ساعته نقطه شنبتم با دوره برگشت ۰۵ سال |        | تبديل دمای به سطح ۱۰۰ هکتوپاسکال توافقان |        | تبديل تداوم ۱۳ ساعت نقطه شنبتم توافقان |        |
|-------------|--------|-------------|--------|---|--------|--|--------|---|--------|--|--------|--|--------|--|--------|
| نسبت اختلاط | در سطح | نسبت اختلاط | در سطح | نسبت اختلاط   | در سطح | نسبت اختلاط  | در سطح | نسبت اختلاط   | در سطح | نسبت اختلاط  | در سطح | نسبت اختلاط                              | در سطح | نسبت اختلاط                            | در سطح |
| ۱/۶         | ۹/۹    | ۶/۴         | ۱۱/۳   | ۵   | ۱/۵    | ۹/۵  | ۶/۲    | ۱۱  | ۴/۶    | ۶/۲  | ۴/۶    | ۷  | ۰/۲    | کرج                                    |        |
| ۱/۲۸        | ۹/۶    | ۷/۱         | ۱۳     | ۶/۸   | ۱/۲۶   | ۹/۵  | ۶/۹    | ۱۲/۸  | ۶/۳    | ۷/۵  | ۵/۸    | ۹/۵                                      | ۳/۶    | تهران                                  |        |
| ۱/۷۶        | ۹/۷    | ۷           | ۱۲/۸   | ۶/۳   | ۱/۷۰   | ۹/۴  | ۶/۸    | ۱۲  | ۵/۸    | ۵/۵  | ۳/۸    | ۵/۱                                      | -۲/۲   | قزوین                                  |        |
| ۱/۶۲        | ۷/۸    | ۸           | ۱۰     | ۱۰/۷  | ۱/۵۶   | ۷/۵  | ۷/۹    | ۹/۵   | ۱۰/۵   | ۷/۸  | ۵      | ۳  | ۳/۷    | نوشهر                                  |        |
| ۱/۳۸        | ۸/۳    | ۹           | ۱۱/۵   | ۱۲/۳  | ۱/۳۱   | ۷/۹  | ۸/۶    | ۱۰/۳  | ۱۱/۸   | ۶  | ۶/۸    | ۷/۷                                      | ۸      | رامسر                                  |        |
| ۱/۵۲        | ۱/۴۶   |             |        |   |        |  |        |   |        |  |        |  | Mean   |  |        |



جدول (۹) بیشینه نمودن دمای نقطه شنبه و نسبت اختلاط در سطح ۱۰۰۰ هکتوپاسکال توفان ۷۳/۲/۱۰

| ضریب رطوبت | نسبت اختلاط        |        | تبديل تداوم نقطه شنبه ۱۲ ساعته ۸ ساله به ۱۰۰۰ هکتوپاسکال | حداکثر تداوم ۱۲ ساعته نقطه شنبه با دوره برگشت ۸۰ سال | ضریب رطوبت | نسبت اختلاط        |        | تبديل نقطه شنبه ۱۲ ساعته ۵ ساله به سطح ۱۰۰۰ هکتوپاسکال | حداکثر تداوم ۱۲ ساعته نقطه شنبه با دوره برگشت ۵۰ سال | تبديل دمای به سطح ۱۰۰۰ هکتوپاسکال | حداکثر تداوم ۱۲ ساعت نقطه شنبه توفان | بسیگاه |            |
|------------|--------------------|--------|--|--|------------|--------------------|--------|--|--|-----------------------------------|--------------------------------------|--------|------------|
|            | در ۱۰۰۰ هکتوپاسکال | در سطح |  |  |            | در ۱۰۰۰ هکتوپاسکال | در سطح |  |  |                                   |                                      |        |            |
| ۱/۰۶       | ۱۳/۶               | ۱۰/۸   | ۱۸   | ۱۲/۷   | ۱/۰۵       | ۱۳/۵               | ۱۰/۸   | ۱۷/۷   | ۱۲/۳   | ۱۲/۸                              | ۱۰/۵                                 | ۱۷/۷   | ۱۲/۲ کرج   |
| ۱/۱۴       | ۱۳/۷               | ۱۱/۲   | ۱۸/۵   | ۱۳/۶   | ۱/۰۵       | ۱۲/۶               | ۱۱/۱   | ۱۸/۲   | ۱۳/۱   | ۱۲                                | ۹/۸                                  | ۱۹/۷   | ۱۱/۲ تهران |
| ۱/۱۱       | ۱۳/۶               | ۱۰/۸   | ۱۸   | ۵/۷  | ۱/۱        | ۱۳/۵               | ۱۰/۸   | ۱۷/۷   | ۱۲/۳   | ۱۲/۲                              | ۹/۹                                  | ۱۶/۷   | ۱۱/۱ قزوین |
| ۱/۱۷       | ۱۳/۵               | ۱۲/۸   | ۱۷/۲   | ۱۷/۸   | ۱/۱۵       | ۱۲/۸               | ۱۲/۸   | ۱۷   | ۱۷/۵   | ۱۱/۱                              | ۱۱/۱                                 | ۱۵/۲   | ۱۵/۴ نوشهر |
| ۱/۲۵       | ۱۳/۲۵              | ۱۳/۲   | ۱۷/۵   | ۱۸/۵   | ۱/۲۵       | ۱۳/۲۵              | ۱۳/۲   | ۱۷/۲   | ۱۸/۲   | ۱۰/۶                              | ۱۰/۷                                 | ۱۵/۲   | ۱۵/۵ رامسر |
| ۱/۶        |                    |        |  |  | ۱/۱۲       |                    |        |  |  |                                   |                                      |        | Mean       |

بیشینه تندی باد با تداوم ۱۲ ساعته برای هر دوره ای ۱۰ روزه از ماه در دوره‌ی آماری و برای دوره‌های برگشت ۵۰ و ۸۰ سال با استفاده از توزیع مناسب آماری (گمبیل تیپ ۳) برآورد شد. (علیزاده، ۱۳۷۷، ص ۵۰۹). نتایج در جدول‌های (۱۲) تا (۱۰) آمده است.

$$\text{Rabte (۲)} = \frac{\text{ضریب باد}}{\text{MW}}$$

$$\text{MW} = \frac{\text{سرعت باد حداکثر شده با دوره بازگشت معین}}{\text{سرعت باد حداکثر شده توفان}}$$

جدول (۱۰) بیشینه نمودن سرعت باد در توفان ۱۳۶۵/۲/۱۳

| ایستگاه | حداکثر سرعت باد توفان | ساعتنه سرعت باد با دوره بازگشت ۵۰ سال | سرعت باد دوره بازگشت ۸۰ سال | سرعت باد دوره بازگشت ۵۰ سال | ضریب حداکثر سرعت باد با دوره بازگشت ۸۰ سال |
|---------|-----------------------|---------------------------------------|-----------------------------|-----------------------------|--|
| تهران   | ۱۲                    | ۲۵/۹                                  | ۲۷/۹                        | ۲/۱۵                        | ۲/۳۳                                       |
| کرج     | ۱۰                    | ۱۹/۱                                  | ۲۰/۶                        | ۱/۹                         | ۲  |
| قزوین   | ۱۴                    | ۲۰/۶                                  | ۲۲/۳                        | ۱/۴۷                        | ۱/۶  |
| نوشهر   | ۱۳/۷۵                 | ۱۵/۶                                  | ۱۶/۷                        | ۱/۱۳                        | ۱/۲۱                                       |
| رامسر   | ۱۰                    | ۱۲/۹                                  | ۱۴                          | ۱/۲۹                        | ۱/۴  |
| Mean    |                       | ۱/۶                                   |                             | ۱/۷                         | ۱/۷  |

جدول (۱۱) بیشینه نمودن سرعت باد در توفان ۱۱/۱۲/۱۱/۱۲ معادل با ۹۴/۱/۳۱

| ایستگاه | حداکثر سرعت باد توفان | ساعتنه سرعت باد با دوره بازگشت ۵۰ سال | سرعت باد دوره بازگشت ۸۰ سال | ضریب حداکثر سرعت باد با دوره بازگشت ۵۰ سال | ضریب حداکثر سرعت باد با دوره بازگشت ۸۰ سال |
|---------|-----------------------|---------------------------------------|-----------------------------|--|--|
| تهران   | ۲۰                    | ۲۱/۵                                  | ۲۳/۲                        | ۱/۰۷                                       | ۱/۱۶                                       |
| کرج     | ۱۵                    | ۱۹/۲                                  | ۲۰/۶                        | ۱/۲۸                                       | ۱/۳۷                                       |
| قزوین   | ۲۰                    | ۲۲/۵                                  | ۲۴/۳                        | ۱/۱۲                                       | ۱/۲۱                                       |
| نوشهر   | ۱۲                    | ۱۶                                    | ۱۷/۱                        | ۱/۳۳                                       | ۱/۴۲                                       |
| رامسر   | ۱۲                    | ۱۸/۸                                  | ۲۰/۵                        | ۱/۵۶                                       | ۱/۷  |
| Mean    |                       | ۱/۲۷                                  |                             | ۱/۲۷                                       | ۱/۳۷                                       |

جدول (۱۲) بیشینه نمودن سرعت باد در توفان ۱۰/۲/۷۳ معادل با ۱۹۹۶/۴/۳۰

| ایستگاه | حداکثر سرعت باد توفان | ساعتنه سرعت باد با دوره بازگشت ۵۰ سال | سرعت باد دوره بازگشت ۸۰ سال | ضریب حداکثر سرعت باد با دوره بازگشت ۸۰ سال | ضریب حداکثر سرعت باد با دوره بازگشت ۸۰ سال |
|---------|-----------------------|---------------------------------------|-----------------------------|--|--|
| تهران   | ۱۵                    | ۲۳/۳                                  | ۲۵/۱                        | ۱/۵  | ۱/۶۷                                       |
| کرج     | ۱۵                    | ۱۹/۴                                  | ۲۰/۹                        | ۱/۳  | ۱/۴  |
| قزوین   | ۱۵                    | ۲۲/۲                                  | ۲۳/۹                        | ۱/۴۸                                       | ۱/۶  |
| نوشهر   | ۱۰                    | ۱۳/۴                                  | ۱۴/۲                        | ۱/۳۴                                       | ۱/۴۲                                       |
| رامسر   | ۱۰                    | ۱۶/۲                                  | ۱۷/۶                        | ۱/۶۲                                       | ۱/۷۶                                       |
| Mean    |                       | ۱/۴۴                                  |                             | ۱/۴۴                                       | ۱/۵۷                                       |



### محاسبه ضریب توفان

$$FM = MP \cdot MW \quad (3)$$

(صالحی پاک، ۱۳۸۷: ۴۷)

$= FM$  ضریب توفان

$= MP$  ضریب رطوبت

$= MW$  ضریب باد

اینک ضرایب بیشینه رطوبت و سرعت باد را بطور جداگانه در مقدار متوسط بارش هر توفان با دوره‌های برگشت ۵۰ و ۸۰ سال اعمال کرده و PMP حوضه بدست می‌آید (جدول ۱۳ و ۱۴).

جدول (۱۳) برآورد PMP به روش سینوپتیک با دوره برگشت ۵۰ سال در حوضه آبریز رودخانه کرج

| تاریخ توفان  | متوسط بارندگی در سطح تجمعی mm | ضریب توفان | PMP   |
|--------------|-------------------------------|------------|-------|
| ۷۲/۱۱/۱۲     | ۵۴                            | ۱/۸۵       | ۹۹/۹  |
| ۷۳/۲/۱۵      | ۵۳/۶۶                         | ۱/۶        | ۸۵/۸۵ |
| ۶۵/۲/۱۳      | ۴۲/۶                          | ۱/۸۸       | ۸۰/۰۸ |
| ۶۵/۲/۱۳ و ۱۴ | ۱۰۶/۲۱                        | ۱/۸۸       | ۱۹۹/۷ |

جدول (۱۴) برآورد PMP به روش سینوپتیک با دوره برگشت ۸۰ سال در حوضه آبریز رودخانه کرج

| تاریخ توفان  | متوسط بارندگی در سطح تجمعی mm | ضریب توفان | PMP    |
|--------------|-------------------------------|------------|--------|
| ۷۲/۱۱/۱۲     | ۵۴                            | ۲/۰۸       | ۱۱۲/۳۲ |
| ۷۳/۲/۱۰      | ۱۳/۶۶                         | ۱/۸۲       | ۹۷/۶۶  |
| ۶۵/۲/۱۳      | ۴۲/۶                          | ۲/۰۴       | ۸۶/۹   |
| ۶۵/۲/۱۳ و ۱۴ | ۱۰۶/۲۱                        | ۲/۰۴       | ۲۱۶/۷  |

به دلیل اینکه حوضه مورد مطالعه در منطقه کوهستانی واقع شده است بهتر دیده شد اثر کوهستان را در ضریب تعديل رطوبت لحاظ کرد. به این ترتیب که دمای نقطه شنبه برای

توفان و برای دوره‌های بازگشت ۵۰ و ۸۰ سال در هر توفان در سطح ۱۰۰۰ هکتارپاسکال بطور جداگانه در نظر گرفته می‌شود سپس با استفاده از (جداول معین تهیه شده توسط ۳۳۲WMO) دماهای نقطه شبنم مورد نظر در تراز ۲۰۰ هکتارپاسکال بدست آورده شد، سپس همان دماها را در ارتفاع ۱۶۰۰ متری (ارتفاع متوسط حوضه از سطح دریا) محاسبه و از یکدیگر کم می‌شود. اعداد حاصله از دوره‌های بازگشت را بر عدد حاصل از توفان تقسیم کرده و ضریب تنظیم کوهستان برای هر ایستگاه در هر توفان بدست می‌آید، پس از این عملیات معدل ضرایب برای دوره‌های بازگشت ۵۰ و ۸۰ سال محاسبه و در ضریب سرعت باد و نهایتاً میزان بارش متوسط حوضه در سطح تجمعی اعمال می‌گردد. جدول‌های (۱۶) و (۱۵)

جدول (۱۵) برآورد PMP با ضریب تعديل رطوبت به سبب کوهستان با دوره برگشت ۵۰ سال در حوضه آبریز رودخانه کرج

| تاریخ توفان  | متوسط بارندگی در سطح تجمعی mm | ضریب باد با دوره برگشت ۵۰ سال | ضریب تعديل رطوبت به سبب کوهستان | PMP    |
|--------------|-------------------------------|-------------------------------|---------------------------------|--------|
| ۷۲/۱۱/۱۲     | ۵۴                            | ۱/۲۷                          | ۱/۸                             | ۱۲۳/۴۴ |
| ۷۳/۲/۱۰      | ۵۳/۶۶                         | ۱/۴۴                          | ۱/۱۵                            | ۸۸/۸۶  |
| ۶۵/۲/۱۳      | ۴۲/۶                          | ۱/۵۸                          | ۱/۳۶                            | ۹۱/۱۳  |
| ۶۵/۲/۱۳ و ۱۴ | ۱۰۶/۲۱                        | ۱/۵۸                          | ۱/۳۶                            | ۲۲۸/۲۲ |

جدول (۱۶) برآورد PMP با ضریب تعديل رطوبت به سبب کوهستان با دوره برگشت ۸۰ سال در حوضه آبریز رودخانه کرج

| تاریخ توفان  | متوسط بارندگی در سطح تجمعی mm | ضریب باد با دوره برگشت ۸۰ سال | ضریب تعديل رطوبت به سبب کوهستان | PMP    |
|--------------|-------------------------------|-------------------------------|---------------------------------|--------|
| ۷۲/۱۱/۱۲     | ۵۴                            | ۱/۳۷                          | ۱/۹                             | ۱۴۰/۵۶ |
| ۷۳/۲/۱۰      | ۵۳/۶۶                         | ۱/۵۷                          | ۱/۲                             | ۱۰۱/۰۹ |
| ۶۵/۲/۱۳      | ۴۲/۶                          | ۱/۷                           | ۱/۴۱                            | ۱۰۲/۱۱ |
| ۶۵/۲/۱۳ و ۱۴ | ۱۰۶/۲۱                        | ۱/۷                           | ۱/۴۱                            | ۲۵۴/۵۸ |



$$113/44 \times 845000 \div 86400 = 1099/67 \text{ m}^3/\text{s}$$

حداکثر دبی متوسط حوضه بدون اثر کوهستان

$$140/56 \times 845000 \div 86400 = 1374/68 \text{ m}^3/\text{s}$$

حداکثر دبی متوسط حوضه با اثر کوهستان

$$1099/67 \times 0/4 = 439/86 \text{ m}^3/\text{s}$$

حداکثر دبی متوسط روزانه بدون اثر کوهستان

$$1374/68 \times 0/4 = 550 \text{ m}^3/\text{s}$$

حداکثر دبی متوسط روزانه با اثر کوهستان

## بحث

با توجه به بیشینه دبی متوسط روزانه مشاهده شده ایستگاه سیرا طی دوره ۲۰ ساله عدد  $157/54 \text{ m}^3/\text{s}$  باشد منطقی است که حداکثر دبی متوسط روزانه بالاتر از مقادیر محاسبه شده یعنی  $550 \text{ m}^3/\text{s}$  و  $439/86 \text{ m}^3/\text{s}$  نخواهد بود.

از بررسی سینوپتیکی توفان‌های منتخب در حوضه نتیجه گرفته شد.

در همه موارد وجود یک پرفشار در شمال دریای خزر که بتواند هوای سرد جنوب قطبی را به جنوب دریای خزر ریزش دهد، دیده شده است این پرفشار ممکن است سیبری و یا سامانه‌های پرفشار مهاجر در غرب روسیه و یا شمال اروپا باشد.

وجود یک کم‌پشار در روی دریای سرخ یا شرق مدیترانه در تمامی نقشه‌ها، دیده شده است که به علت جهت حرکت آنها هوای گرم و مرطوب عرض پائین را به داخل ایران و منطقه مورد مطالعه منتقل می‌کند.



وجود پر ارتفاع عربستان در تمامی توفان‌ها در تراز بالا ملاحظه شد که عامل مهمی است جهت انتقال هوای گرم و مرطوب دریای عمان به داخل ایران.

بنابراین برآورد PMP به روش سینوپتیکی بدلیل در نظر گرفتن پارامترهای جوی، کامل‌تر و دقیق‌تر از سایر روش‌ها می‌باشد و می‌توان برای احداث و طراحی سازه‌های هیدرولیکی از نتایج حاصله استفاده نمود.

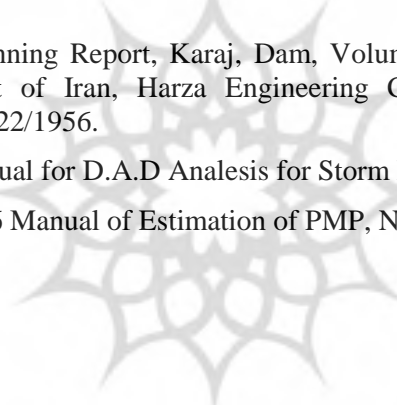




## منابع

- ۱- پایمذد، شهلا (۱۳۸۱)، «برآورد حد اکثر بارش محتمل به روش آماری و سینوپتیک و مقایسه آنها با یکدیگر و محاسبه P.M.F مطالعه موردی شرق استان هرمزگان»، دانشگاه تربیت مدرس، گروه سازه های آبی دانشکده کشاورزی.
- ۲- خلیلی، علی (۱۳۸۱)، «برآورد PMP آماری در سطح زمانی استاندارد در گستره ایران و پنهانه بنده کشور از دیدگاه قانونمندی های آن»، معاونت پژوهشی و آموزشی وزارت راه و ترابری سازمان هواسنایی کشور.
- ۳- سازمان هواسنایی کشور، ۱۹۸۶-۱۹۹۴، نقشه های سینوپتیک.
- ۴- شیرآوند، هنگامه (۱۳۸۳)، «برآورد حد اکثر بارش محتمل به روش سینوپتیک، مطالعه موردی سد گلستان»، دانشگاه تهران، گروه جغرافیا.
- ۵- صالحی پاک، تهمینه (۱۳۷۸)، «برآورد حد اکثر بارش محتمل به روش سینوپتیک، مطالعه موردی حوضه آبخیز سد ماملو»، دانشگاه تربیت معلم، گروه جغرافیا.
- ۶- علیزاده، امین (۱۳۷۷)، «صول هیدرولوژی کاربردی»، جلد اول چاپ دهم، انتشارات آستان قدس رضوی، دانشگاه امام رضا (ع)، ص ۶۲۲
- ۷- عبداللهزاده، کاوه و یحیی (۱۳۸۲)، «مغایم کاربردی آمار و احتمالات»، جلد اول چاپ دوم، نشر آئیش، ص ۳۵۶.
- ۸- قائمی، هوشنگ. ۱۳۸۰، «برآورد حد اکثر بارش محتمل حوضه مرکزی لتبیان، کرج»، گزارش فنی شماره ۱۶/۱، سازمان هواسنایی کشور برنامه ملی تحقیقات.
- ۹- لشکری، حسن (۱۳۷۹)، «مکانیسم تکوین منطقه همگرایی دریای سرخ»، فصلنامه تحقیقات جغرافیایی، شماره ۵۸ و ۵۹، مشهد، ص ۱۸۴ تا ۱۶۷.
- ۱۰- لشکری، حسن (۱۳۸۲)، «مکانیسم تکوین، تقویت و توسعه مرکز کم فشار سودان و نقش آن بر روی بارش های جنوب و جنوب غرب ایران»، پژوهش های جغرافیایی، شماره ۴۶، ص ۱ تا ۱۸.

- ۱۱- مهندسین آبخیزداران سبز (۱۳۸۰)، «گزارش پوشش گیاهی حوضه آبخیز سیرا (کرج)»، وزارت جهاد کشاورزی سازمان جهاد کشاورزی استان تهران، مدیریت آبخیزداری.
- ۱۲- مهندسین مشاور جاماب وابسته به وزارت نیرو (۱۳۶۸)، «طرح جامع آب کشور حوضه آبریز شور»، کرج و جاجrud.
- ۱۳- مهندسین مشاور ری آب (۱۳۷۱)، «قلیم‌شناسی و آب‌های سطحی، طرح تامین آب مشروب شهر تهران»، وزارت نیرو، سازمان آب منطقه‌ای تهران، گزارش مرحله اول جلد دوم.
- ۱۴- یاسری املشی، خلیل (۱۳۴۶)، «گزارش زمین‌شناسی دشت تهران»، کرج، وزارت نیرو، اداره کل آب‌های زیرزمینی.
- 15- Project Planning Report, Karaj, Dam, Volum I, Plan Organization Government of Iran, Harza Engineering Company International November /22/1956.
- 16- WMO, Manual for D.A.D Analesis for Storm Precipitation, No, 237.
- 17-WMO , 1986 Manual of Estimation of PMP, No, 332.



پژوهشگاه علوم انسانی و مطالعات فرهنگی  
پرتال جامع علوم انسانی